

CNT/ β -AgVO₃混杂材料的制备及其光催化分解水析氧性能

赵学国* 黄祖志

(江西省景德镇陶瓷学院,材料科学与工程学院,景德镇 333001)

摘要:采用水热法合成出单斜结构的 β -AgVO₃纳米棒和CNT/ β -AgVO₃光催化剂,在可见光模拟系统中以碘酸钾为电子捕获剂,检测氧气生成速率表征催化剂的光催化性能,并借助X射线衍射(XRD)分析、扫描电镜(SEM)、透射电镜(TEM)、紫外-可见光漫反射吸收光谱(UV-Vis)等对催化剂粉体进行了表征。实验结果表明,CNT附着在 β -AgVO₃颗粒表面有利于光生电子的转移和光解水析氧反应。CNT/ β -AgVO₃催化剂较之纯 β -AgVO₃催化剂活性显著提高。当CNT附着量为1.5%时,析氧速率可稳定在250 $\mu\text{mol}\cdot\text{g}^{-1}\cdot\text{h}^{-1}$ 。

关键词:光催化剂; β -AgVO₃; 分解水; 氧气

中图分类号: O643.32

文献标识码: A

文章编号: 1001-4861(2015)01-0069-05

DOI: 10.11862/CJIC.2015.048

Preparation and Photocatalytic Performance of CNT/ β -AgVO₃ Hybrid Materials for Oxygen Evolution from Water

ZHAO Xue-Guo* HUANG Zu-Zi

(School of Materials Science and Technology, Jingdezhen Ceramic Institute, Jingdezhen, Jiangxi 333001, China)

Abstract: β -AgVO₃ nanowires with monoclinic structure were synthesized by hydrothermal method. C nanotube (CNT) as an effective cocatalyst was loaded onto β -AgVO₃ photocatalyst. The photocatalytic activity of CNT/ β -AgVO₃ was performed by its O₂ evolution performance under UV-Vis irradiation while KIO₃ was used as electron acceptor, and the photocatalyst was characterized by XRD, SEM, TEM and UV-Vis absorption spectrum. The results showed that the photocatalytic activity of CNT/ β -AgVO₃ was superior to that of pure β -AgVO₃, and loaded CNT can improve the interfacial electron transfer and the O₂ evolution. When the amount of loaded CNT was 1% (wt), the stable average oxygen evolution rate was about 250 $\mu\text{mol}\cdot\text{g}^{-1}\cdot\text{h}^{-1}$.

Key words: photocatalysts; β -AgVO₃; water splitting; oxygen

随着工业化进步和大量化石燃料的开发及使用,由其引发的环境问题已引起世界各国政府的广泛关注。应用半导体光催化剂氧化降解有机物污染已成为重要的方法之一。以半导体金属氧化物作为光催化剂降解处理有机污染物具有活性高、成本低、常温降解彻底等众多优点,受到研究人员的广泛关注^[1-2]。钒酸银是一种可见光响应型光催化剂,它包括正钒酸银(Ag₃VO₄)、偏钒酸银(AgVO₃)和焦钒

酸银(Ag₄V₂O₇)^[3]等,研究较多的是正钒酸银^[4-5]和偏钒酸银^[6-7],文献^[8]中曾报道 Ag₃VO₄催化剂在可见光照射下,在硝酸银水溶液中能氧化水析出O₂。偏钒酸银是一种新型窄宽带半导体光催化剂(禁带宽度约为2.2 eV),在可见光区能产生强烈的吸收,光催化实验表明其催化性能良好,能有效降解溶液中的有机物^[9],但在水溶液中关于其析氧性能还未见报道。

半导体复合是近年来光催化剂材料研究的一

收稿日期:2014-06-24。收修改稿日期:2014-10-25。

国家自然科学基金(No.)资助项目。

*通讯联系人。E-mail: zhaoxueguo601@163.com

个新方向,它将2种具有能级匹配合适的半导体材料组合在一起,通过产生的内建电场使载流子作定向传输,可有效分离电子-空穴,提高了催化剂量子效率^[10-11]。为提高AgVO₃催化剂光解水析氧的能力,本文采用水热反应法合成出CNT/β-AgVO₃异质结催化剂粉体,将CNT(carbon nanotube)附载在β-AgVO₃纳米线表面,以提高光生电子空穴的分离效率,并在可见光模拟系统中研究了附载的CNT对β-AgVO₃催化剂光解水析氧性能的影响。

1 实验部分

1.1 样品的制备

实验所用试剂为偏钒酸铵(AR)、硝酸银(AR)、浓硫酸(AR),实验用水为去离子水。

1.2.1 酸化CNT的制备

将1 g碳纳米管放入浓硫酸与硝酸(3:1)的混合酸中回流24 h,经离心分离并用碱中和后,用蒸馏水反复清洗于80 ℃下烘干待用。

1.2.2 β-AgVO₃纳米棒的制备

将一定量的偏钒酸铵和硝酸银分别溶入水中,使n_{Ag}/n_{VO₃}=1,两溶液混合后可形成泛红黄色粉末,将该沉淀物过滤并反复用水清洗后,移置反应釜内并加适量去离子水于180 ℃水热反应18 h,制得β-AgVO₃粉体。

1.2.3 CNT/β-AgVO₃复合催化剂的制备

将一定量的酸化碳纳米管加入到偏钒酸铵水溶液中,超声分散后加入化学计量的硝酸银溶液,形成一黄中显黑的沉淀物,将沉淀物过滤并用清水反复清洗后移入反应釜中,加入适量蒸馏水后于180 ℃水热反应18 h,制得浅黄色CNT/β-AgVO₃粉体。

1.2 样品表征

样品的结构表征采用日本理学DMAX-RB X射线粉末衍射仪(XRD)完成,Cu K α 辐射,靶电压40 kV,电流40 mA, $\lambda=0.154\text{ }18\text{ nm}$,石墨单色器滤波,扫描范围(2θ)10°~70°,扫描速度0.02°·s⁻¹。粉末样品压片后进行衍射分析,采用闪烁计数器控测衍射线强度。采用日本JEM-2010型透射电子显微镜(TEM)和日本JSM25900型扫描电子显微镜(SEM)研究样品形貌,阴极LaB₆,加速电压200 kV。采用Nicolet 7000-C型傅立叶红外光谱仪(波数4 000~400 cm⁻¹,分辨率4 cm⁻¹)对样品进行结构分析,试样采用高纯KBr与粉末样品压片进行红外光谱测试。采用气相色谱仪(GC-950上海海欣色谱仪器有限公司)进行

催化剂活性测试;禁带宽度测试采用Lambda 850紫外-可见近红外分光光度计。

1.3 样品催化活性表征

使用内置型光源(250 W氘灯)光反应器,气体闭合回路系统(氮气做载气),采用1 g催化剂,反应液为600 mL去离子水和0.30 g KIO₃,磁力搅拌,采用气相色谱对析氧量进行检测。

2 结果与讨论

2.1 物相结构分析

图1为实验中所制备的纯β-AgVO₃(B)、0.5% CNT/AgVO₃(C)、1% CNT/AgVO₃(D)、1.5% CNT/AgVO₃(E)及标准β-AgVO₃(A)的XRD图。从图1中可知,AgNO₃与NH₄VO₃反应形成的前驱体经180 ℃水热处理15 h后形成的偏钒酸银,其主要衍射峰与标准卡片(JCPDS No.29-1154)中单斜相β-AgVO₃的(112),(411),(602)和(112)晶面衍射峰相一致;同时,从该图中还可以观察到,样品中引入的CNT对β-AgVO₃衍射峰峰位未产生影响,这可能是其引入量较少的缘故。比较各反应产物与标准β-AgVO₃衍射峰位,可知产物(501)晶面衍射峰相对强度比标准卡片中的(501)晶面衍射峰要高很多,表明,前驱体经过180 ℃水热反应后结构出现了择向生长,这与以下TEM分析结果相吻合。

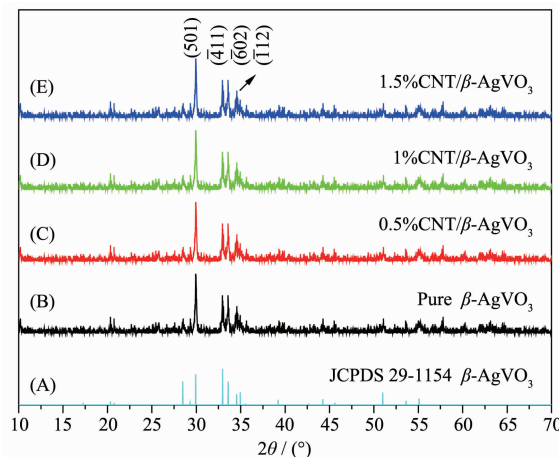


图1 纯β-AgVO₃(B)和0.5% CNT/AgVO₃(C)、1% CNT/AgVO₃(D)、1.5% CNT/AgVO₃(E)和标准β-AgVO₃(A)的XRD图

Fig.1 XRD patterns of pure β-AgVO₃(B) and 0.5% CNT/AgVO₃(C), 1% CNT/AgVO₃(D), 1.5% CNT/AgVO₃(E) and standard β-AgVO₃(A)

2.2 物相形貌分析

图2A、2B为水热反应所制备1.5% CNT/β-

AgVO₃ 粉体 SEM 显微照片及其相应能谱图。从图 2A 中可观察到, 由水热法所合成的 β -AgVO₃ 粉体颗粒宽约 100~200 nm, 长约 2 μm 以上。对图 2A 区域成份分析结果如图 2B 所示, 各元素原子百分比为: Ag:V:O:C=16.58:15.63:55.84:1.89, 其中 $n_{\text{Ag}}/n_{\text{V}} \approx 1$, 与 AgVO₃ 中 Ag 与 V 的比例非常接近, 而且检测出的 C 含量, 比实际加入量稍大, 可能是 CNT 在催化剂粉体中分散不匀所致。

图 3A、3B、3C 分别为 1.5% CNT/ β -AgVO₃ 粉体 TEM 显微照片、a 区颗粒边缘 HRTEM 图及 b 区颗粒边缘 HRTEM 图。图 3A 进一步清晰表明, 水热法所合成的 β -AgVO₃ 粉体颗粒呈纳米棒结构, 宽约

100~200 nm, 长度达到 1~2 μm 以上。对图 3A 中单个颗粒边缘高分辨成像(图 3B)后可观察到, β -AgVO₃ 颗粒与 CNT 之间通过 β -AgVO₃ 颗粒边缘约 10 nm 厚的无定形层相连, 形成异质结结构。方框 b 中所在区域高分辨 TEM 图像如图 3C 所示, 从图中可知, 实验中所合成的 β -AgVO₃ 纳米棒为单晶结构, 与长度方向近似垂直的晶面间距为 0.299 nm, 对应于单斜 β -AgVO₃(501)晶面, 而与长度方向成近 60° 夹角的晶面间距为 0.297 nm, 相应于单斜 β -AgVO₃(211)晶面, 经测量两晶面夹角约为 60°, 与理论计算十分吻合, 说明, 水热法所合成的 β -AgVO₃ 纳米棒沿[501]晶向择优生长。

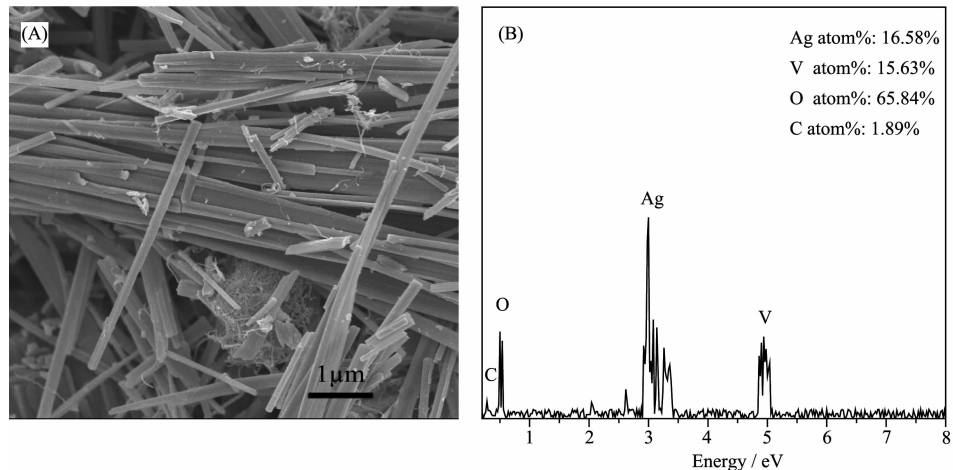


图 2 水热反应所制备 1.5% CNT/ β -AgVO₃ 粉体 SEM 显微照片(A)及其能谱图(B)

Fig.2 SEM image of 1.5% CNT/ β -AgVO₃ powder (A) and its corresponding EDS (B)

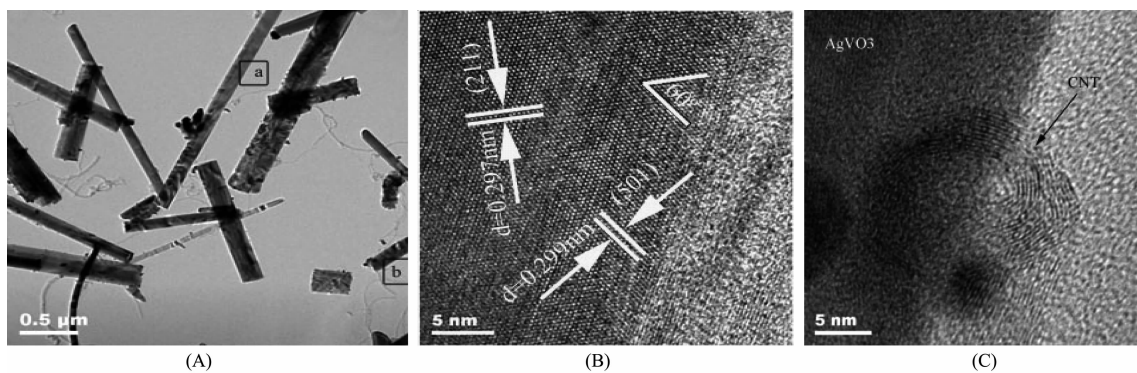


图 3 (A) 1.5% CNT/ β -AgVO₃ 催化剂粉体 TEM 显微照片; (B),(C) 分别为图 3A 中方形 a 区和 b 区 HRTEM 照片

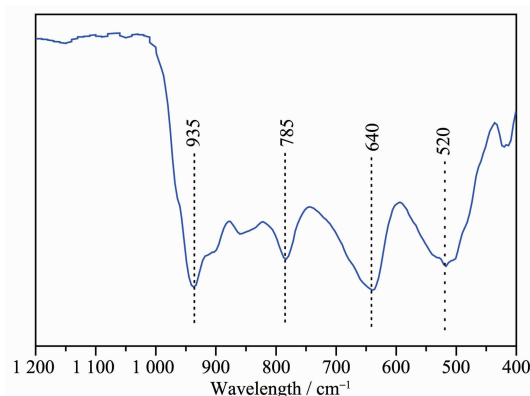
Fig.3 (A) TEM image of 1.5% CNT/ β -AgVO₃ catalyst, (B) HRTEM image of the local enlarged image from the boxed region a in Fig.3A, and (C) HRTEM image of the local enlarged image from the boxed region b in Fig.3A

2.3 傅立叶红外光谱及紫外可见光漫反射吸收光谱分析

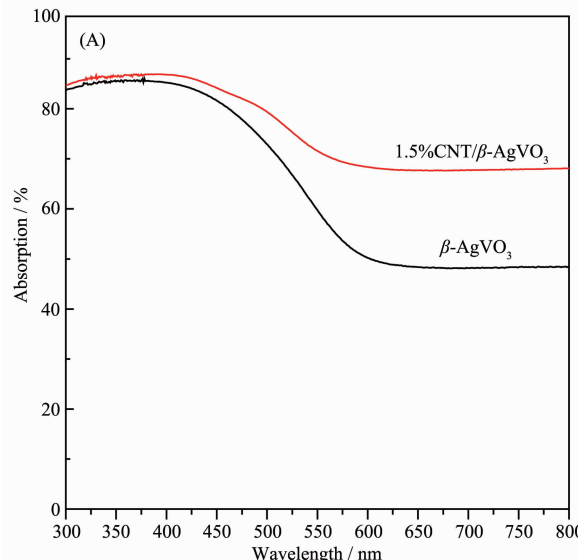
β -AgVO₃ 粉体傅立叶红外光谱图如图 4 所示, 曲线中位于 400~800 cm^{-1} 吸收峰是 O-V-O 分子振

动吸收谱带; 位于 935 cm^{-1} 左右吸收峰为-V=O 的伸缩振动峰^[12], 说明 β -AgVO₃ 样品中含有 O-V-O 和 -V=O 键。

1.5% CNT/ β -AgVO₃ 粉体紫外可见光吸收光谱

图4 β -AgVO₃粉体傅立叶红外光谱图Fig.4 FTIR spectrum of β -AgVO₃ powder

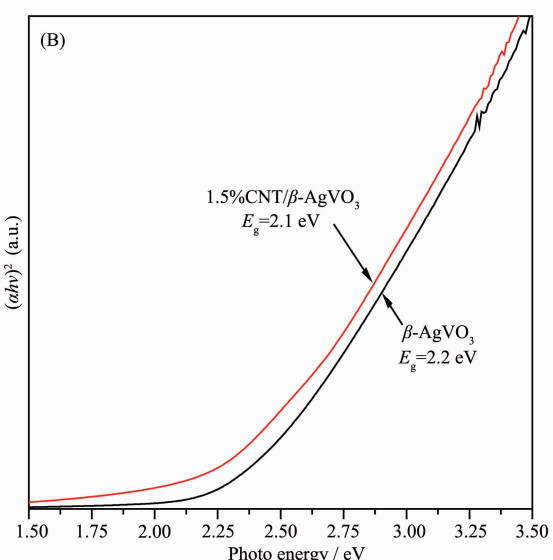
图如图5A所示。从图5A中可以看出:(1)纯 β -AgVO₃对可见光均有不同程度的吸收,但对位于300~550 nm之间的可见光吸收较强;(2)当 β -

图5 $x\%$ CNT/ β -AgVO₃ ($x=0, 1.5$)粉体紫外可见光吸收光谱(A)Fig.5 UV-Vis absorption spectrum (A) of $x\%$ CNT/ β -AgVO₃ ($x=0, 1.5$) powder and the $(\alpha h\nu)^2$ versus $h\nu$ plot (B) for determining the absorption onset of 1.5%CNT/ β -AgVO₃ powder

2.4 光催化性能表征

$x\%$ CNT/ β -AgVO₃ ($x=0, 0.5, 1, 1.5$)催化剂光解水析氧性能受光照时间影响,其关系如图6所示。从图6中可知:(1) $x\%$ CNT/ β -AgVO₃ ($x=0, 0.5, 1, 1.5$)催化剂光解水析氧性能与光照时间成近线性关系;(2)随着CNT附载量的增多, β -AgVO₃催化剂光解水析氧能力得到显著提高,纯 β -AgVO₃催化剂光解水析氧速率约为 $70\sim80 \mu\text{mol}\cdot\text{g}^{-1}\cdot\text{h}^{-1}$;附载1%CNT后, β -AgVO₃催化剂光解水析氧速率提高到 $220 \mu\text{mol}\cdot\text{g}^{-1}\cdot\text{h}^{-1}$;进一步附载CNT后(1.5%), β -AgVO₃催化剂光解水析氧速率增加变缓,但也达到 250

AgVO₃颗粒表面附着少量的CNT后,催化剂粉体对600~800 nm之间可见光的吸收出现了明显增强现象,如当1.5%CNT附载后,催化剂粉体对600 nm可见光的吸收比例从50%提高到75%。在相同可见光照射下,增强催化剂对可见光的吸收意味着可产生更多的电子空穴对,有助于提高催化剂催化活性。此外,根据半导体的吸收系数 α 与光学带隙之间的关系式 $(\alpha h\nu)^2=A(h\nu-E_g)$ 作图(图5B所示)(α 为吸收系数; $h\nu$ 为光子能量;A为常数; E_g 为禁带宽度),由 β -AgVO₃可见光吸收光谱的数据可计算出 β -AgVO₃禁带宽度 E_g 为2.2 eV,这与文献所报道的结果相同^[5]。此外,根据1.5%CNT/ β -AgVO₃可见光吸收光谱数据也可计算出此时催化剂粉体禁带宽度为2.1 eV,说明附载少量CNT可减小 β -AgVO₃的带隙。



$\mu\text{mol}\cdot\text{g}^{-1}\cdot\text{h}^{-1}$,说明,附载CNT能有效提高 β -AgVO₃光催化剂活性。

根据文献可知^[13],氧化物半导体带边电位强烈受禁带宽度的影响,其导带、价带电位与禁带关系如下:

$$E_{cb}=1.23-E_g/2$$

$$E_{vb}=1.23+E_g/2$$

其中 E_{cb}, E_{vb}, E_g 分别表示半导体的导带电位、价带电位(以标准氢电极电位为基准)及其禁带宽度。将 $E_g=2.2$ eV代入,可计算出 β -AgVO₃的导带电位约为0.1 V,价带电位约为2.4 V,这与文献中所报道的结

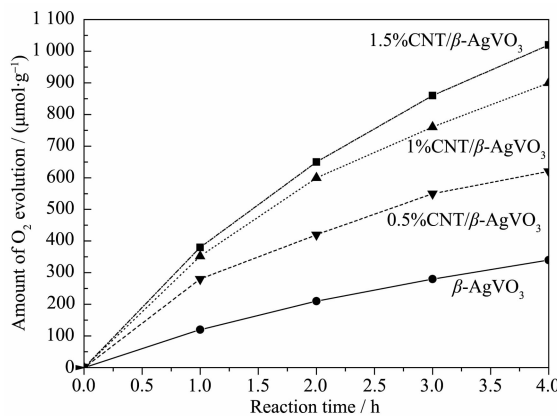


图 6 $x\%$ CNT/ β -AgVO₃ ($x=0, 0.5, 1, 1.5$) 催化剂光解水析氧性能与光照时间关系图

Fig.6 Dependence of O₂ evolution performance on irradiation time over $x\%$ CNT/ β -AgVO₃ ($x=0, 0.5, 1, 1.5$)

果非常接近^[5]。由于 β -AgVO₃ 的价带电位远高于水的氧化电位(约为 1.8 V), 故它具有一定的光解水析氧性能。当少量的 CNT 附载于 β -AgVO₃ 颗粒表面后, 由于 CNT 具有较高的功函数(5 eV)和良好的导电性能, β -AgVO₃ 半导体光照后产生的光生电子在电势作用下会迁移到 CNT 表面上, 实现了光生电子在 p 型 β -AgVO₃ 催化剂表面的分离, 抑制了半导体中光生电子与空穴的复合, 有效提高了催化剂的量子效率, 使 β -AgVO₃ 半导体光生空穴能有效地夺取水分子上的电子, 将水分子劈裂而析出氧气。聚集在 CNT 表面上的光生电子会为溶液中的 KIO₃ 所捕获, 抑制 H₂ 的生成, 避免了由光氧化还原反应中产生的 O₂ 和 H₂ 复合, 提高了 β -AgVO₃ 光催化剂析氧活性。因此, 适量附载 CNT 至 β -AgVO₃ 纳米棒中, 可有效提高 β -AgVO₃ 的光催化析氧性能。

3 结 论

以偏钒酸铵和硝酸银为原料, 采用水热法制备出单斜结构 β -AgVO₃ 纳米棒, 并在 β -AgVO₃ 粉体颗

粒表面附着 CNT, 制成 CNT/ β -AgVO₃ 异质结光催化剂, 借助 XRD, SEM, TEM, UV-vis 等手段对样品进行了表征, 讨论了 CNT 附载量对 β -AgVO₃ 光催化析氧活性的影响。结果表明:

- (1) 所制备的 β -AgVO₃ 粉体禁带宽度为 2.2 eV;
- (2) 少量 CNT 可与 β -AgVO₃ 纳米棒形成异质结光催化剂, 在可见光模拟系统中 CNT 能显著提高 β -AgVO₃ 光催化析氧活性;
- (3) 当 CNT 附载量为 1.5wt% 时, β -AgVO₃ 光解水析氧速率可达到 $250 \mu\text{mol}\cdot\text{g}^{-1}\cdot\text{h}^{-1}$ 左右。

参 考 文 献 :

- [1] Chen X B, Liu L, Yu P, et al. *Science*, **2011**, *331*:746-750
- [2] Yi Z G, Ye J H, Naoki K, et al. *Nat. Mater.*, **2010**, *9*:559-563
- [3] Ryoko K, Hideki K, Hisayoshi K, et al. *Phys. Chem. Chem. Phys.*, **2003**, *5*:3061-3065
- [4] ZHANG Yon-Lai (张永来), DING Hong (丁红), LIU Fu-Jian (刘福建), et al. *Chin. J. Catal.* (催化学报), **2008**, *29*:783-787
- [5] Huang C M, Pan G T, Li Y C, et al. *Appl. Catal. A: Gen.*, **2009**, *358*:164-172
- [6] Rout C S, Gautam U, Bando Y, et al. *Sci. Adv. Mater.*, **2010**, *2*:407-412
- [7] KONG Dong-Qin(孔冬青), SUN Jian-Zhi(孙建之). *Chinese J. Spectrosc. Lab.*(光谱实验室), **2013**, *30*:3353-3355
- [8] Konta R, Kato H, Kobayashi H, et al. *Phys. Chem. Chem. Phys.*, **2003**, *5*:3061-3065
- [9] Xu J, Hu C G, Xi Y, et al. *J. Solid State Sci.*, **2012**, *14*:535-539
- [10] Ji Y X, Cao J F, Jiang L Q, et al. *J. Alloys Compd.*, **2014**, *590*:9-14
- [11] Chen L Y, Zhang W D. *Appl. Surf. Sci.*, **2014**, *301*:428-435
- [12] Gao X T, Rui Z P, Xin Qin, et al. *Catal. Lett.*, **1994**, *23*:321-337
- [13] Matsumoto Y. *J. Solid State Chem.*, **1996**, *126*:227-234